

## تأثیر روغن‌های خوراکی بر کولیت ناشی از سیتروبیاکتر رودنتیوم

آریتا حکمت دوست<sup>۱</sup>، عباس میرشفیعی<sup>۲</sup>، ابوالقاسم جزایری<sup>۳</sup>، محمد رضا اشراقیان<sup>۴</sup>، محمد مهدی فیض آبادی<sup>۵</sup>، رضا صداقت<sup>۶</sup>، کوان جکوبسون<sup>۷</sup>

۱- دانشآموخته دکترای علوم تغذیه، دانشکده بهداشت دانشگاه علوم پزشکی تهران

۲- دانشیار گروه ایمونولوژی، دانشکده بهداشت، دانشگاه علوم پزشکی تهران

۳- نویسنده مسئول: استاد گروه تغذیه و بیوشیمی، دانشکده بهداشت، دانشگاه علوم پزشکی تهران پست الکترونیکی: djazayery@yahoo.com

۴- دانشیار گروه آمار حیاتی، دانشکده بهداشت دانشگاه علوم پزشکی تهران

۵- دانشیار گروه میکروبیولوژی، دانشکده بهداشت دانشگاه علوم پزشکی تهران

۶- دانشیار گروه پاتولوژی، دانشکده پزشکی دانشگاه علوم پزشکی شاهد

۷- استادیار بخش گوارش بیمارستان کودکان و نکوکور، بریتیش کلمبیا، کانادا

تاریخ پذیرش: ۱۴/۸/۸۷

تاریخ دریافت: ۱۰/۶/۸۷

### چکیده

**ساقه و هدف:** شواهد متعددی مبنی بر نقش اسیدهای چرب امگا-۳ در کاهش التهاب ناشی از مواد شیمیایی وجود دارد. اما تا کنون، هیچ مطالعه‌ای اثر اسیدهای چرب مختلف را بر کولیت ناشی از سیتروبیاکتر بررسی نکرده است. هدف از این مطالعه، بررسی اثر روغن ماهی، روغن کانولا و روغن گلرنگ بر کولیت ناشی از سیتروبیاکتر است.

**مواد و روش‌ها:** موش‌ها به طور تصادفی تحت رژیم با کالری یکسان و تنها متفاوت در نوع چربی به مدت ۳ هفته قبل و ۰ روز بعد از القای سیتروبیاکتر قرار گرفتند. هر گروه شامل ۹ عدد موش بود. در روز دهم بعد از عفونت، قسمت انتهایی روده از نظر شاخص‌های التهابی، هسیتوپاتولوژی و تعداد سیتروبیاکترها بررسی شد.

**یافته‌ها:** تعداد سیتروبیاکترها در تمام گروه‌ها مشابه بود، اما درجه التهاب در گروه تغذیه شده با روغن ماهی کمترین مقدار را داشت که به ترتیب در گروه روغن گلرنگ، روغن کانولا و رژیم معمولی درجه آن افزایش می‌یافتد.

**نتیجه‌گیری:** نتایج این مطالعه، بیانگر آن است که در مدل کولیت التهابی ناشی از سیتروبیاکتر، هرچه نسبت مصرف امگا-۳ به امگا-۶ بیشتر باشد، میزان التهاب، کمتر است، اما اسیدهای چرب امگا-۳ تأثیری بر تعداد سیتروبیاکترها نداشته و تأثیر آنها فقط از طریق خاصیت ضدالتهابی ظاهر می‌شود.

**وازگان کلیدی:** سیتروبیاکتر رودنتیوم، روغن ماهی، روغن کانولا، روغن گلرنگ، التهاب روده (کولیت)

### • مقدمه

چرب امگا-۳ در مدل تجربی کولیت ناشی از تری نیتروبنزن سولفونیک اسید (TNBS) (۳-۶)، دکستران سولفات سدیم (۷) و اسید استیک (۸) در مطالعات گذشته نشان داده شده است.

سیتروبیاکتر رودنتیوم یک مدل ایده‌آل برای بررسی اثر متقابل پاتوژن و دستگاه ایمنی میزبان دستگاه گوارش است. از این باکتری به عنوان یک ارگانیسم غیرتهاجمی برای بررسی پاسخ ایمنی بدن و چگونگی تشخیص فلور

بیماری التهابی روده با حملات و بهبود مکرر التهاب مزمن مشخص می‌شود که برای درمان آن، تعديل عوامل التهابی و ضدالتهابی اهمیت ویژه‌ای دارند (۱). اسیدهای چرب غیر اشباع، یکی از مهم‌ترین عوامل قابل تغییر محیطی هستند که نقش مهمی در بیماری‌های التهابی مختلف از طریق دخالت در غشای سلولی، سنتز ایکوزانوئیدها، تأثیر مستقیم در بیان بعضی ژن‌ها و ارسال پیام‌های داخل سلولی دارند (۲). اثر درمانی اسیدهای

دسترسی داشتند. شرایط حیوانخانه به صورت ۱۲ ساعت روشنایی، ۱۲ ساعت تاریکی و دمای  $21 \pm 1^{\circ}\text{C}$  بود. حیوانات به طور تصادفی با رژیم‌های زیر تغذیه می‌شدند: الف- رژیم استاندارد معمولی که چربی آن، پیه بود. ب- رژیم مصنوعی با ۲۰٪ انرژی از چربی‌های روغن گلنگ با ۶ n-۱۸ بالا یا روغن کانولا با ۳ n-۳ و ۹ n-۱۸ بالا یا روغن ماهی با ۳ n-۵ و ۶ n-۱۸ بالا (جدول شماره ۱). همه این رژیم‌های به طور دستی تهیه شده و کالری، کربوهیدرات، چربی و پروتئین یکسانی داشتند (جدول ۲). کلیه رژیم‌ها در دمای  $4^{\circ}\text{C}$  نگهداری شده و به مدت ۳ هفته قبل و ۱۰ روز بعد از وارد کردن باکتری، به طور روزانه به حیوانات داده شد. پروتکل مطالعه توسط کمیته اخلاقی دانشگاه بریتیش کلمبیا تأیید شد.

ایجاد کولیت به وسیله سیتروباکتر: در موش‌ها به وسیله ۱۰۰ ul از محلول حاوی سیتروباکتر رودنتیوم بیوتیپ ۴۲۸۰ گونه ۱۰۰ DBS کولیت ایجاد شد (۱۳). هر گروه شامل ۹ عدد موش بود. وزن و مرگ و میر موش‌ها به طور روزانه بررسی شد. در روز دهم بعد از وارد کردن باکتری موش‌ها تحت بیهوشی با کلروفرم به روش قطع نخاع گردنی کشته شدند. بافت انتهایی روده و محتويات آن برای بررسی عوامل التهابی و تعداد سیتروباکترها جمع‌آوری شد.

طبیعی از پاتوژن، توسط دستگاه ایمنی بدن در دستگاه گوارش استفاده شده است. بعداز القای سیتروباکتر به موش جوان، باکتری در نیمة انتهایی روده تجمع و تکثیر یافته و باعث ضخیم شدگی مخاط روده می‌شود که ۱۰ تا ۱۲ روز بعد از عفونت به حداکثر میزان خود می‌رسد (۱۰، ۹). آسیب ناشی از این عفونت، شباهت زیادی به مدل‌های متداول بیماری التهابی روده در موش دارد (۱۱). برخی از جمله این شباهتها عبارتند از بازخوانی سلول‌های لنفاوی T، تولید سیتوکین‌ها و تکثیر سلول‌های اپی‌تیلیالی روده (۱۲).

با استفاده از این مدل موش که در آن شروع التهاب مشخص است، اثر روغن‌های حاوی اسیدهای چرب امگا-۳ بر التهاب ناشی از سیتروباکتر بررسی شد. هدف از این مطالعه، بررسی اثر روغن‌های مختلف خوراکی بر تعداد سیتروباکترها و عوامل خارج سلولی اپی‌تیلیوم و ایمنی میزبان در حالت عفونت با سیتروباکتر و گروه کنترل است.

## ۰ مواد و روش‌ها

حیوانات و رژیم غذایی: موش ماده از نژاد 6/BL، سن ۶ تا ۸ هفته از آزمایشگاه جکسون (Bar Harbor, Maine, USA) خریداری شد. موش‌ها در شرایط استریل در قفس‌های با سقف فیلتردار نگهداری شدند و در زیر هود کشت سلولی مورد بررسی قرار گرفتند. موش‌ها که در حیوانخانه دانشگاه بریتیش کلمبیا نگهداری می‌شدند، آزادانه به آب و غذای مخصوص

جدول ۱- ترکیب اسیدهای چرب در رژیم‌های مختلف

اسیدهای چرب	روغن ماهی	روغن کانولا	روغن گلنگ
16:0	۲۱/۹	۵/۲۲	۷/۲۵
18:0	۷,۵	۱/۷۹	۲/۲۰
18:1n-9	۲۵/۲	۵۹/۳۷	۱۴/۸۴
18:2n-6	۱/۶	۲۱/۰۱	۷۴/۳۰
20:4n6	۲/۵	۰/۰۱	۰/۰۰
18:3n3	۰/۶	۹/۷۷	۰/۲۹
20:5n3	۷/۲	۰/۰۰	۰/۰۰
22:6n3	۲۴/۶	۰/۰۰	۰/۰۰
18:2n-6:18:3n-3 ratio	۲/۶۷	۲/۱۵	۲۵۶

جدول ۲- ترکیب رژیمهای مختلف

روغن گلرنگ (گرم در ۱۰۰ گرم)	روغن کاتولا (گرم در ۱۰۰ گرم)	روغن ماهی (گرم در ۱۰۰ گرم)	
۱۹	۱۹	۱۹	کازبین
۲۲	۲۲	۲۲	سوکروز
۳۸	۳۸	۳۸	آرد ذرت
۱۰	۰	۱	روغن گلرنگ
۰	۱۰	۰	روغن کاتولا
۰	۰	۹	روغن ماهی
۱	۱	۱	مخلوط ویتامین (AIN-76)
۵	۵	۵	مخلوط مواد معدنی (AIN-93)
۰/۱	۰/۱	۰/۱	کلرید کولین
۰/۳	۰/۳	۰/۳	متیونین
۵	۵	۵	سلولز
۰/۰۸۴	۰/۰۸۴	۰/۰۸۴	اکسید سلنیم
۰/۰۳	۰/۰۳	۰/۰۳	کلرید منگنز

استفاده از دستگاه هموژنیزه کننده بافت کینماتیک (Brinkmann, USA) با سرعت پایین هموژنیزه شدند. سپس محلول‌های هموژنیزه شده به صورت سریال در محلول نمکی که با فسفات، بافری شده بود رقیق شدند و در پلیت‌های حاوی محیط کشت آگار مک کانکی (Conkey Mac) کشت داده شدند. تعداد کلنی‌های باکتری، روز بعد شمارش شد. کلنی‌های سیتروباکتر به علت داشتن ظاهر و اندازه مشخص به راحتی قابل تشخیص بودند (مرکز صورتی با حلقه سفید اطراف آن). اعتبار این رویکرد به وسیله PCR برای ژن لی (LEE) تأیید شده است (۱۴).

بررسی هیستوپاتولوژی: برای ارزیابی پاتولوژی بافت از معیار درجه‌بندی مطالعات گذشته کمک گرفتیم (۱۵، ۱۶). از بافت‌های کلنی محصور شده با پارافین، برش‌های ۳ میلی‌متری تهیه و با هماتوکیسیلین - ائوزین رنگ‌آمیزی شد. برش‌ها توسط دو فرد که از گروه‌های مورد نظر اطلاعی نداشتند، بررسی شد. ۲ نمونه بافتی از ۵ موش در هر گروه، مورد بررسی قرار گرفت. معیار درجه بندی به این شرح بود: ادم زیر مخاطی (۰ = بدون ادم، ۱ = ادم خفیف، ۲ = ادم متوسط، ۳ = ادم شدید); تخریب

اندازه‌گیری بقاء و وزن حیوانات: برای بررسی تأثیر سیستمیک رژیمهای بر روند عفونت، میزان بقاء و تغییرات وزن حیوانات اندازه‌گیری شد. موش‌ها بعد از وارد کردن باکتری به طور دقیق ارزیابی شدند. اگر هر یک از علائم ضعف و بی حالی شدید را نشان می‌دادند، تحت بیهوشی به روش قطع نخاع گردنی کشته می‌شدند. وزن موش‌ها قبل از القاء عفونت و هر روز بعد از القاء آن اندازه‌گیری شد. تغییرات وزن به طور متوسط در هر گروه اندازه‌گیری و میزان بقاء (به صورت درصد موش‌های زنده مانده، نسبت به تعداد موش‌های اولیه) در هر گروه در هر روز محاسبه شد.

جمع آوری مدفوع و بافت: در روز دهم بعد از القاء عفونت، موش‌ها کشته شدند بعد از باز کردن شکم ۴cm انتهایی کولون جمع آوری و ۱cm انتهایی بافت در محلول بافر خنثی فرمالین جهت بررسی هیستوپاتولوژی قرار داده شد. تکه‌های مدفوعی و بافت کولون به طور جداگانه توزیں و در محلول فسفات بافر سالین ( $pH = ۴/۷$ ) روی يخ تا زمان کشت نگهداری شدند.

شمارش باکتری‌ها: بافت کولون (شستش شده با فسفات بافرسالین) و مدفوع داخل آن به طور جداگانه توزیں و با

**آنالیز آماری:** یافته‌ها به صورت میانگین و انحراف معیار در هر گروه محاسبه شد. آنالیز آماری به روش ANOVA و در صورت وجود اختلاف معنی دار با استفاده از Posthoc و به روش tukey انجام شد ارزش P کمتر از  $0.05$  معنی دار در نظر گرفته شد.

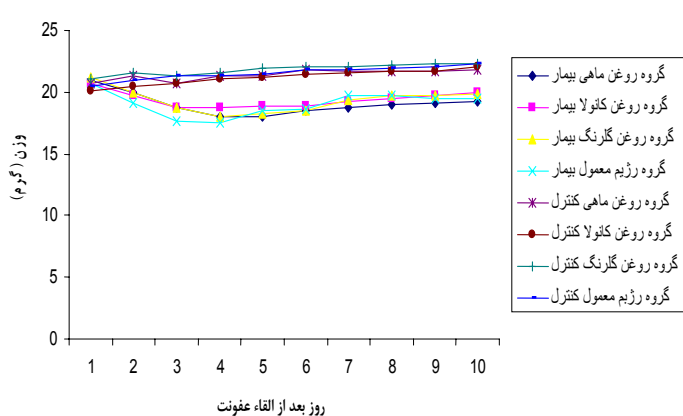
#### • یافته‌ها

**حساسیت به عفونت با سیتروباکتررودنیتوم:** روغن ماهی، بقا را در موش‌های عفونی شده به طور خفیفی افزایش داد (شکل ۱). از مجموع ۹ عدد موش در هر گروه عفونی شده، یک موش در گروه روغن ماهی، در روز ع، یک موش در گروه روغن کانولا، در روز ۵، دو موش در گروه گلنگ در روزهای ۴ و ۸ و سه موش در گروه رژیم معمول در روزهای ۴، ۸ و ۹ از بین رفتند. در حالی که در گروه کنترل (بدون عفونت) هیچ موشی از بین نرفت. در تمام گروه‌های عفونی شده وزن به تدریج تا روز چهارم بعداز القاء عفونت کاهش و سپس به آرامی افزایش یافت. در حالی که در گروه کنترل در این مدت وزن به طور معمول افزایش یافت (شکل شماره ۲).

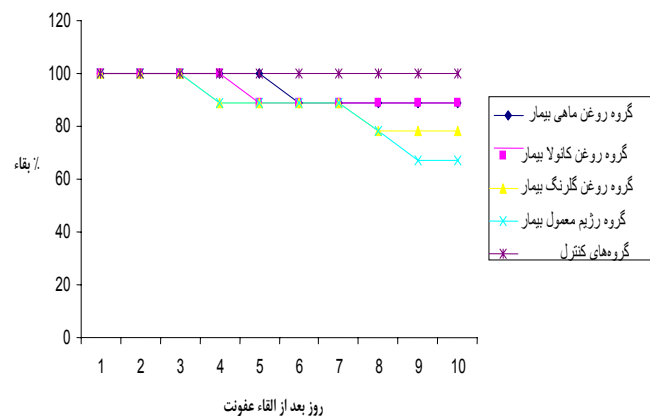
**بررسی هیستوپاتولوژی:** بیشترین تخریب پاتولوژیک در گروهی دیده شد که رژیم معمولی داشتند و به دنبال آن به ترتیب در گروه‌های روغن گلنگ، روغن کانولا و روغن ماهی میزان آن کاهش یافت. (شکل ۳ الف) درجه‌بندی کمی این تخریب با استفاده از سیستم درجه‌بندی هیستوپاتولوژی مشخص شد (شکل ۳ ب) که اختلاف معنی داری بین گروه‌های مختلف مشاهده شد ( $p < 0.01$ ). این تخریب با تخریب کریپت‌ها، از بین رفتن سلول‌های گابلت و انفیلتراسیون سلول‌های التهابی به داخل مخاط و زیر مخاط و ریزش سلول‌های اپی‌تلیالی همراه بود.

سلول‌های گابلت، بر اساس تعداد سلول‌های گابلت در هر فیلد که متوسط ۵ فیلد مختلف با بزرگنمایی  $400\times$  باشد ( $= 1, 50, 2, 50 - 25 = 325 - 10 = 315$ )؛ هیپرپلازی اپی‌تلیوم، با درجه‌بندی براساس درصد بالاتر بودن از حد نرمال ( $= 0$  بدون تغییر،  $= 1$  در حد بالاتر،  $= 2$ ،  $= 3$  در حد بالاتر بودن  $> 100\%$ )؛ انسجام اپی‌تلیوم ( $= 0$  بدون تغییر،  $= 1$  در ریزش سلول اپی‌تلیوم در هر ضایعه،  $= 2$  ریزش سلول اپی‌تلیوم در هر ضایعه،  $= 3$  زخم شدگی اپی‌تلیوم،  $= 4$  زخم شدگی اپی‌تلیوم همراه با تخریب شدید کریپت؛ انفیلتر اسیون نوتروفیل و مونوسیت‌ها ( $= 0$  هیچ،  $= 1$  خفیف،  $= 2$  متوسط،  $= 3$  شدید)؛ حداکثر درجه پاتولوژی براین اساس است.

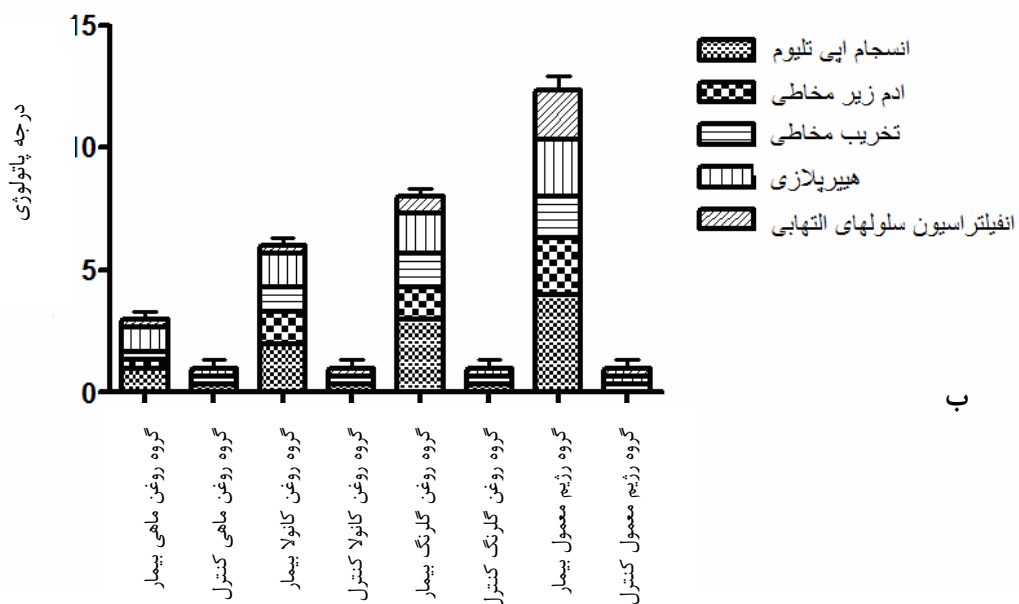
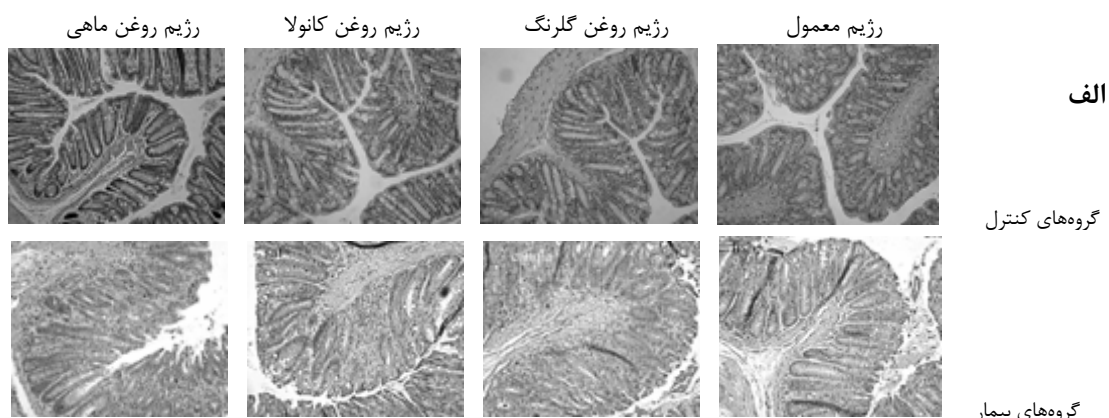
رنگ‌آمیزی ایمونوفلورسانس بافت کلنجی: رنگ‌آمیزی ایمونوفلورسانس بافت‌ها به روش مطالعات قبلی انجام شد (۱۶، ۱۷). به طور خلاصه، بافت‌ها در محلول فسفات با فرسالین شسته شده و توسط ترکیب مناسب برای برش OCT / Sakura / optimal cutting template (Finetech/ Japan) محصور شده و توسط ایزوپنتان و نیتروژن منجمد شده و در فریزر  $^{\circ}C -70$ - نگهداری شد. سپس برش‌های  $6 \mu\text{m}$  میکرومتری از آن تهیه شده و به مدت ۱۰ دقیقه در استون سرد شده با یخ نگهداری شد. سپس برش‌ها با سرم آلبومین گاوی  $1\%$  بلوکه شده و به آن آنتی‌بادی بر علیه مارکر F4/80 ماکروفازها (Serotec, USA) یا آنتی‌بادی علیه مارکر MPO (Serotec, USA) یا آنتی‌بادی علیه مارکر نوتروفیل‌ها (Serotec, USA) یا آنتی‌بادی علیه مارکر ki67 (Abcam, USA) اضافه شد. بعد از شستشوی مکرر با محلول نمکی بافری شده تریس به آنها آنتی‌بادی ثانویه الکسا ۴۸۸ یا الکسا ۵۸۸ اضافه شده و در نهایت به آنها DAPI جهت رنگ‌آمیزی سلول‌ها اضافه شد.



شکل ۲- وزن موش‌ها در گروه‌های مختلف بعد از القای کولیت



شکل ۱- بقای موش‌ها در گروه‌های مختلف



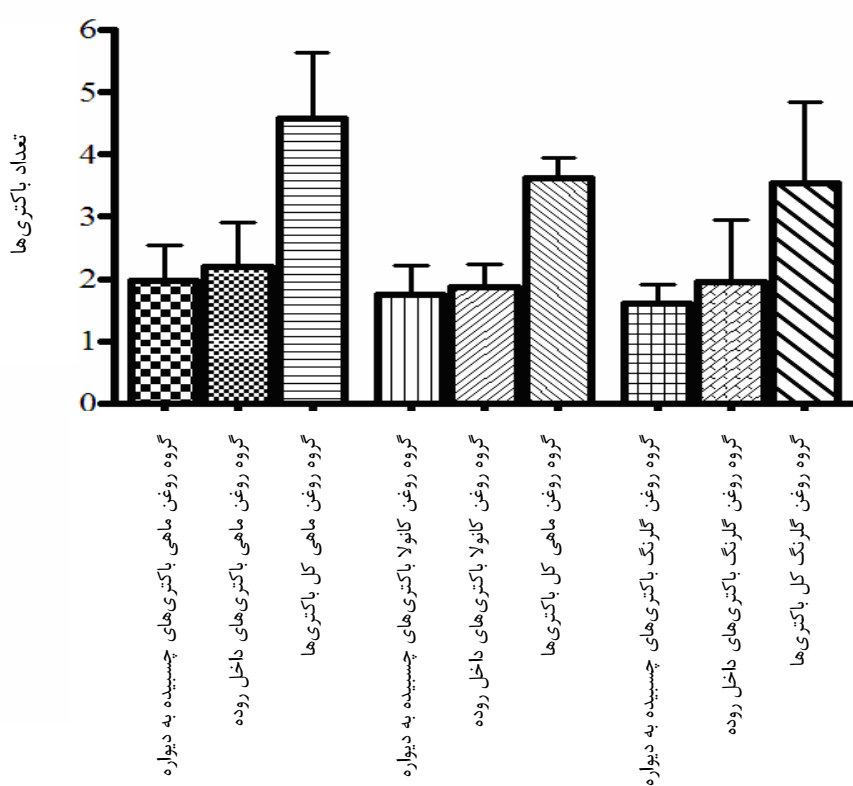
شکل ۳ ۳- الف- بررسی هیستوپاتولوژی در گروه‌های مختلف ب- درجه‌بندی هیستوپاتولوژی در گروه‌های مختلف

مشاهده شد (شکل ۵ ج). برخلاف تعداد اندک ماکروفازها در گروه کنترل و گروه تغذیه شده با روغن ماهی و روغن کانولا تعداد ماکروفازها در ناحیه مخاطی و زیر مخاطی در گروه روغن گلنگ و به خصوص گروه رژیم معمولی، بسیار زیاد بود (شکل ۵ ب). به طور مشابهی، در حالی که نوتروفیل‌ها در بافت کلی گروه کنترل و گروه‌های تغذیه شده با روغن‌های مختلف، به ندرت دیده می‌شدند، تعداد آنها در مخاط و زیر مخاط گروه تغذیه شده با رژیم معمولی زیاد بود (شکل ۵).

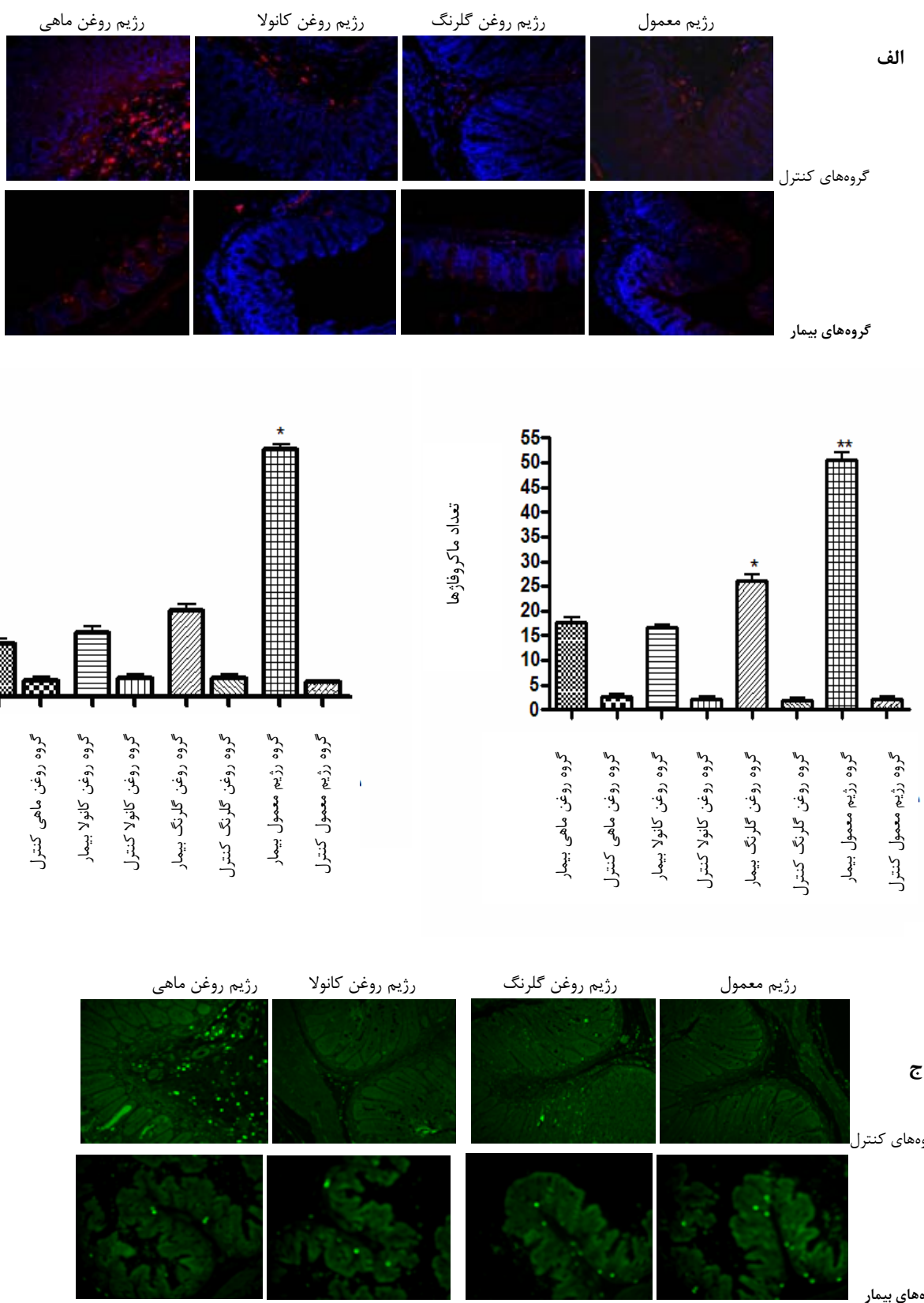
با توجه به مطالعات اخیر مبنی بر اثر اسیدهای چرب امگا-۳ در کاهش پرولیفراسیون سلول‌های کلی (۱۸) در این مطالعه، پرولیفراسیون سلولی نیز بررسی شد. در گروه روغن ماهی میزان Ki67 که مارکر پرولیفراسیون سلولی است ۱/۵ برابر کمتر از سایر گروه‌ها بود (شکل ۶).

**شمارش سیتروباکترها:** برای آنکه مشخص شود این تغییر در میزان پاتولوژی به چه علت است، ابتدا تعداد سیتروباکترها در روده و سپس فاکتورهای مربوط به سیستم ایمنی بدن بررسی شد. در مورد شمارش تعداد سیتروباکترها هم در داخل لومن وهم در داخل بافت کولون تعداد باکتری در تمام گروه‌ها مشابه بود (شکل ۴). بنابراین، برای یافتن مکانیسم عمل روغن‌های مختلف در کاهش درجه پاتولوژی، فاکتورهای ایمنی بدن بررسی شد.

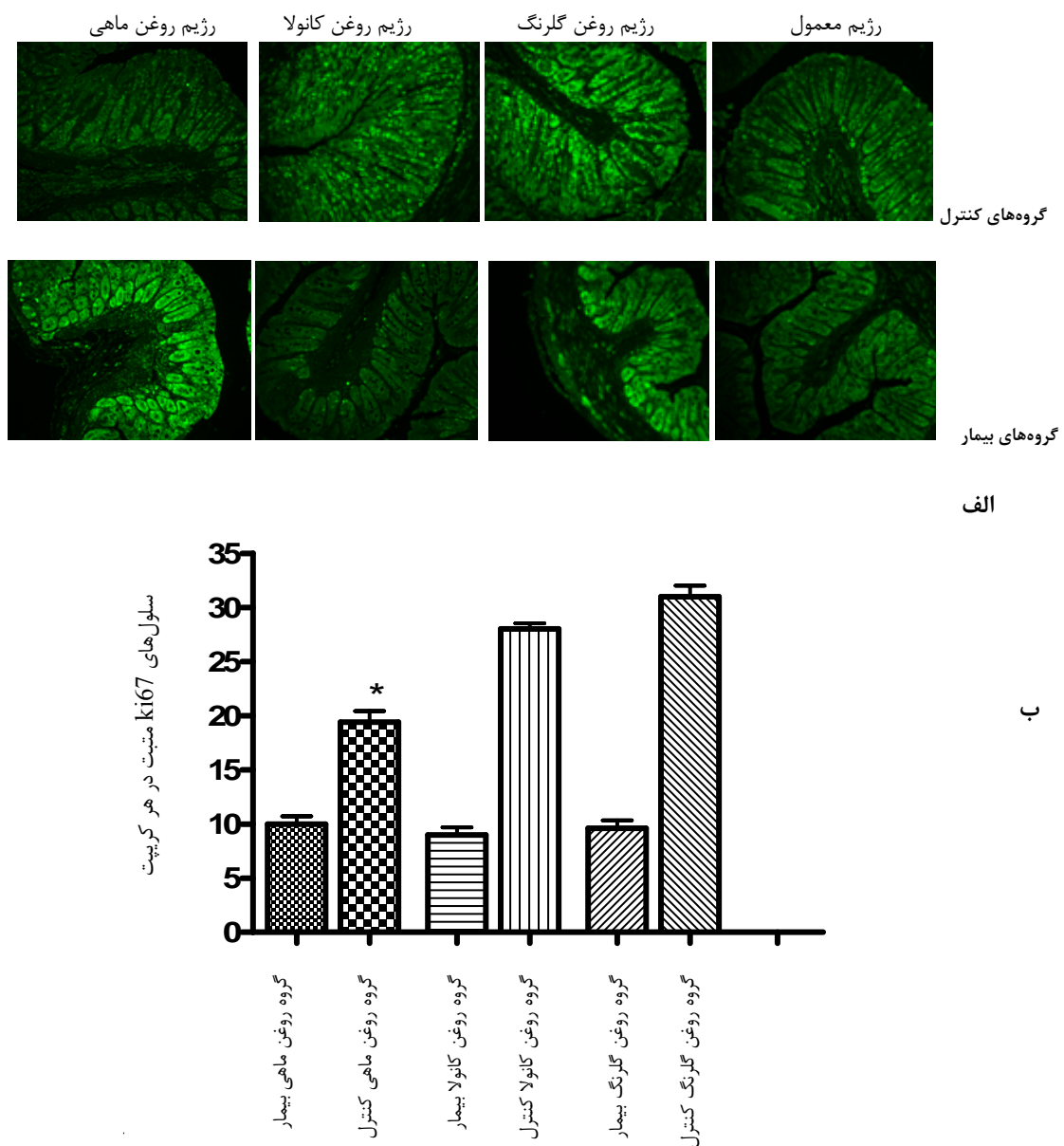
**بازخوانی سلول‌های التهابی:** بافت‌های عفونی شده و کنترل، توسط آنتی‌بادی علیه ki67 ، MPO و F4/80 به عنوان مارکرهای سلول‌های ماکروفاز، نوتروفیل و پرولیفراسیون سلولی رنگ آمیزی ایمونولوژیک شدند. در بافت‌های کنترل ماکروفازهای اندکی در ناحیه زیر اپی‌تیلیوم و پایه کریپت‌ها مشاهده شد (شکل ۵ الف). به طور مشابهی، تعداد اندکی نوتروفیل نیز در گروه کنترل



شکل ۴- تعداد سیتروباکترها در گروه‌های مختلف



شکل ۵ الف- بازخوانی ماکروفازها در گروههای مختلف ب- تعداد متوسط ماکروفازها در هر کریپت در گروههای مختلف  
ج- بازخوانی نوتروفیل‌ها در گروههای مختلف د- تعداد متوسط نوتروفیل‌ها در هر کریپت در گروههای مختلف



شکل ۶ الف- میزان پرولیفراسیون سلولی در گروههای مختلف ب- تعداد متوسط سلولهای ki67 مثبت در هر کریپت

امگا - ۳ در روغن ماهی است. در این مطالعه، روغن ماهی توانست میزان بقاء را در موش‌های بیمار اندکی افزایش دهد، ولی تأثیری در وزن‌گیری آنها نداشت که می‌تواند به علت تأثیر اسیدهای چرب امگا-۶ در افزایش تولید بافت چربی باشد(۱۹).

مانند مطالعات انجام شده در زمینه کولیت ناشی از مواد شیمیایی (۳-۸) روغن ماهی توانست التهاب را در کولیت ناشی از سیتروباکتر هم کاهش دهد. به طوری که

## • بحث

در این مطالعه تأثیر روغن‌های مختلف خوراکی را به عنوان تنها متغیر بر کولیت ناشی از سیتروباکترودنوتیوم بررسی شد. این پژوهش، اولین مطالعه‌ای است که نشان می‌دهد روغن‌های مختلف خوراکی می‌توانند کولیت ناشی از سیتروباکتر را تحت تأثیر قرار دهند. ما به موش‌ها رژیم نیمه مصنوعی با ۲۰٪ انرژی از روغن‌های ماهی، کانولا و گلرنگ دادیم. کمترین نسبت اسیدهای چرب امگا-۶ به

کاهش در پرولیفراسیون سلولی می‌تواند در اثر القای آپوپتوز یا مهار فاکتورهای ضد آپوپتوز باشد. در مطالعات قبلی، شواهدی مبنی بر این اثر روغن ماهی وجود دارد. به عنوان مثال، مطالعات گذشته نشان دادند که اسیدهای چرب حاوی امگا-۳ بیان آنزیم فسفوکیناز C را کاهش می‌دهند و از این طریق میزان آپوپتوز در پرزهای روده افزایش می‌یابد (۲۴، ۲۵). همچنین، روغن ماهی قادر است میزان بیان Bcl-2 را که یک پروتئین ضد آپوپتوز است کاهش دهد و از این طریق هم میزان آپوپتوز سلولی را افزایش داده و موجب کاهش پرولیفراسیون سلولی شود (۲۶، ۲۷).

اخیراً در مطالعه‌ای نشان داده شد که TLR4 نقش کلیدی در التهاب ناشی از سیتروبیکتر رودنتیوم دارد (۱۴). اگرچه در مطالعه حاضر مکانیسم اثر ضد التهابی اسیدهای چرب امگا-۳ را به خوبی بررسی نشده، ولی می‌تواند مؤید نتایج مطالعات اخیر باشد. به این معنی که روغن ماهی می‌تواند باعث مهار TLR4 و جلوگیری از بیان بیشتر گیرنده‌های سطح ایمنی و تولید سیتوکاین‌های التهابی شود (۲۹). زیرا در کولیت ناشی از سیتروبیکتر، در واقع لیبوپلی ساکارید موجود در دیواره باکتری با اتصال به TLR4 آغاز کننده التهاب است. احتمالاً در این مدل نیز روغن ماهی با مهار TLR4 توانسته التهاب را مهار کند.

البته، اثر ضدالتهابی اسیدهای چرب امگا-۳ در اثر نقش آنها در تولید ایکوزانوئیدهای با خاصیت التهابی کمتر و اثر مهاری رقابتی آنها در کاهش تولید ایکوزانوئیدها و سیتوکاین‌های با خاصیت التهابی بیشتر نیز باید مد نظر قرار گیرد (۳۰).

از آنجا که روغن کانولا نیز مانند روغن ماهی، حاوی اسیدهای چرب امگا-۳ ولی با زنجیره کوتاه است، گروه تغذیه شده با روغن کانولا نیز التهاب کمتری نشان دادند. این یافته، مؤید نتایج مطالعات قبلی می‌باشد که نشان دادند اسیدهای چرب امگا-۳ با زنجیره کوتاه مثل آلفا لینولنیک نمی‌توانند عملکرد و غشای سلول را به خوبی اسیدهای چرب امگا-۳ با زنجیره بلند تعديل کنند (۳۱).

میزان تخریب پاتولوژیک در گروه تغذیه شده با روغن ماهی، کمترین مقدار بود. این میزان به ترتیب در گروه کانولا، گلرنگ و رژیم معمولی افزایش معنی‌داری پیدا کرد. برای آنکه دریابیم، این اختلاف درجه هیستوپاتولوژی به علت اثر روغن‌های مختلف بر سیتروبیکتر است یا به علت اثر آنها بر فاکتورهای ایمنی بدن، به بررسی تعداد باکتری‌ها در روده و مقایسه آن در گروه‌های مختلف پرداختیم با توجه به اینکه تعداد باکتری‌ها در گروه‌های مختلف چه در داخل مجرأ و چه در داخل بافت کولون مشابه بود، نتیجه گرفتیم که اثر روغن‌های مختلف بر هیستوپاتولوژی کولون، ناشی از تأثیر آنها بر سیتروبیکتر نبوده و مربوط به نقش آنها در تغییر فاکتورهای ایمنی و التهابی بدن است. به همین دلیل، مکانیسم اثر این روغن‌ها را بر سیستم ایمنی بدن بررسی کردیم.

ابتدا میزان فراخوانی سلول‌های التهابی را بررسی کردیم. به این منظور، ماکروفاز/ مونوسیت‌ها را تحت رنگ‌آمیزی ایمونولوژیک بر علیه مارکر F4/80 و نوتروفیل‌ها را تحت رنگ‌آمیزی علیه مارکر MPO قرار دادیم نتایج آن، کاهش قابل توجه این سلول‌های التهابی در گروه تغذیه شده با روغن ماهی بود. این یافته مطابق نتایج مطالعات گذشته در این رابطه است. مطالعات گذشته نیز نشان داده بودند که ترکیبات روغن ماهی می‌توانند کموتاکسی نوتروفیل‌ها و عملکرد ماکروفازها را کاهش دهند (۲۰، ۲۱). در مطالعه‌ای که توسط Lی و همکارانش (۲۲) روی افراد سالم انجام شد، ترکیبات روغن ماهی میزان پاسخ کموتاکسیک به LTB4 را به ۷۰٪ کاهش دادند. مکانیسم این اثر می‌تواند به علت تغییر اسیدهای چرب فسفولیپیدهای غشای این سلول‌ها و در نتیجه، تغییر در اتصال فاکتورهای کموتاکتیک به غشای این سلول‌ها باشد (۲۱).

همچنین، با توجه به مطالعات دیگر که نشان داده بودند اسیدهای چرب امگا-۳ میزان پرولیفراسیون سلولی را کاهش می‌دهند (۲۳، ۱۸) در این مطالعه، این اثر را نیز با رنگ‌آمیزی ایمونولوژیک علیه مارکر Ki67 بررسی کردیم. نتایج مؤید آن است که روغن ماهی، پرولیفراسیون سلول‌های ایتیلیوم را کاهش می‌دهد. این

التهاب را در مدل کولیت ناشی از سیتروبیاکتر هم کاهش دهنده. در حالی که بر تعداد این باکتری‌ها تأثیر نداشت و کاهش التهاب در اثر کاهش فراخوانی سلول‌های التهابی و TLR4 احتمالاً کاهش تولید سیتوکین‌های التهابی و مهار MYD/88 برای پی بردن به مکانیسم دقیق عملکرد این روغن‌ها توصیه می‌شود.

در این مطالعه، گروه تغذیه شده با روغن گلنگ در مقایسه با گروه تغذیه شده با رژیم معمول که چربی آن پیه است، التهاب کمتری را نشان دادند. به نظر می‌رسد که علت التهاب بیشتر در گروه تحت رژیم معمولی، تأثیر اسیدهای چرب اشباع در تحریک TLR4 و در نتیجه، فعال سازی مسیر NFkb و تولید فاکتورهای التهابی از این طریق است (۳۲).

در مجموع، یافته‌های این مطالعه نشان داد که روغن‌های حاوی نسبت کمتر امگا-۶ به امگا-۳ می‌توانند

## • References

- Podolsky DK. Inflammatory bowel disease. *N Engl J Med.* 2002; 347: 417-29.
- Calder PC. N-3 polyunsaturated fatty acids and inflammation: from molecular biology to clinic. *2003;38:343-52.*
- Shoda R, Matsueda K, Yamato S, Umeda N. Therapeutic efficacy of N-3 polyunsaturated fatty acid in experimental Crohn's disease. *J Gastroenterol* 1995; 30 (Suppl. 8):98–101.
- Vilaseca J, Salas A, Guarner F, Rodriguez R, Martinez M, Malagelada JR. Dietary fish oil reduces progression of chronic inflammatory lesions in a rat model of granulomatous colitis. *Gut* 1990;31:539–44.
- Andoh A, Tsujikawa T, Ishizuka I, Araki Y, Sasaki M, Koyama S, et al. N-3 fatty acid rich diet prevents early response of IL-6 elevation in trinitrobenzene sulfonic acid-induced enteritis. *Int J Mol Med* 2003;12: 721-25.
- Nieto N, Fernandez MI, Torres MI, Rios A, Suarez MD, Gil A. Dietary monounsaturated n-3 and n-6 long chain polyunsaturated fatty acids affect cellular antioxidant defense system in rats with experimental colitis induced by trinitrobenzen sulfonic acid. *Dig Dis Sci* 1998;43:2676-87.
- Hirata I, Murano M, Nitta M, Sasaki S, Toshina K, Maemura K, et al. Estimation of mucosal inflammatory mediators in rat DSS-induced colitis. Possible role of PGE2 in protection against mucosal damage. *Digestion* 2001; 63 (Suppl. 1):73–80.
- Empey LR, Jewell LD, Garg ML, Thomson AB, Clandinin MT, Fedorak RN. Fish oil-enriched diet is mucosal protective against acetic acid-induced colitis in rats. *Can J Physiol Pharmacol* 1991; 69:480–7.
- Wiles S, Clare S, Harker J, Huett A, Young D, Dougan G, Frankel G. Organ specificity, colonization and clearance dynamics in vivo following oral challenges with the murine pathogen *Citrobacter rodentium*. *Cell Microbiol* 2004;6:963–972.
- Mundy R, Mac Donald TT, Dougan G, Frankel G, Wiles S. *Citrobacter rodentium* of mice and man. *Cellular Microbiology* 2005;7(12): 1697-1706.
- Frankel G, Philips AD, Novakova M, Field H, Candy DCA, et al. Intimin from enteropathogenic *Escherichia coli* restores murine virulence to a *Citrobacter rodentium* eaeA mutant: induction of an immunoglobulin A response to intimin and EspB. *Infect Immun* 1996;64:5315–5325.
- Hoggins LM, Frankel G, Douce G, Dougan G, MacDonald TT. *Citrobacter rodentium* infection in mice elicits a mucosal Th1 cytokine response and lesions similar to those in murine inflammatory bowel disease. *Inf Immun* 1999;67(6):3031-3039.
- Mundy R, MacDonald TT, Dougan G, Frankel G, Wiles S. *Citrobacter rodentium* of mice and man. *Cellular Microbiology*. 2005; 12;, 1697–1706.
- Khan MA, Ma C, Knodler LA, Valdez Y, Rosenberger CM, Deng W, et al. Toll-like receptor 4 contributes to colitis development but not to host defense during *Citrobacter rodentium* infection in mice. *Infect Immun*. 2006;74:2522–2536.
- Barthel M, Hapfelmeier S, Quintanilla-Martinez L, Kremer M, Rohde M, Hogardt M, et al. Pretreatment of mice with streptomycin provides a *Salmonella enterica* serovar Typhimurium colitis model that allows analysis of both pathogen and host. *Infect Immun* 2003;71:2839–2858.
- Deng, WBA, Vallance Y, Li JL. Puente BB. Finlay. *Citrobacter rodentium* translocated intimin receptor (Tir) is an essential virulence factor needed for actin condensation, intestinal colonization and colonic hyperplasia in mice. *Mol. Microbiol* 2003; 48:95–115.

17. Vallance BA, Deng W, Knodler LA, Finlay BB. Mice lacking T and B lymphocytes develop transient colitis and crypt hyperplasia yet suffer impaired bacterial clearance during *Citrobacter rodentium* infection. *Infect Immun* 2002;70:2070–2081.
18. Cheng J, Ogawa K, Kuriki K, Yokoyama Y, Kamiya T, Seno K, et al. Increased intake of n-3 polyunsaturated fatty acids elevates the level of apoptosis in the normal sigmoid colon of patients polypectomized for adenomas/tumors. *Cancer Lett*. 2003;193:17–24.
19. Massiera F, Saint-Marc P, Seydoux J, Murata T, Kobayashi T, Narumiya S, et al. Arachidonic acid and prostacyclin signaling promote adipose tissue development: a human health concern? *J Lipid Res*. 2003;44:271–279.
20. Halvorsen DS, Hansen JB, Grimsgaard S, Bonaa KH, Kierulf P, Nordoy A. The effect of highly purified eicosapentaenoic and docosahexaenoic acids on monocyte phagocytosis in man. *Lipids* 1997;32: 935–942.
21. Tomobe YI, Morizawa K, Tsuchida M, Hibino H, Nakano Y, Tanaka Y. Dietary docosahexaenoic acid suppresses inflammation and immunoresponses in contact hypersensitivity reaction in mice. *Lipids* 2000;35: 61–69.
22. Lee TH, Hoover RL, Williams JD, Sperling RI, Ravalese J 3rd, Spur BW, Robinson DR, Corey EJ, Lewis RA, Austen KF. Effect of dietary enrichment with eicosapentaenoic and docosahexaenoic acids on in vitro neutrophil and monocyte leukotriene generation and neutrophil function. *N Engl J Med* 1985;312, 1217–1224.
23. Rose DP, Connolly JM. Omega-3 fatty acids as cancer chemopreventive agents. *Pharmacol Ther*. 1999; 83: 217–244.
24. Davidson L, Brown R, Chang W, Morris J, Wang N, Carroll R, et al. Morphodensitometric analysis of protein kinase C beta (II) expression in rat colon: modulation by diet and relation to in situ cell proliferation and apoptosis. *Carcinogenesis* 2000;21:1513–9.
25. Tsujii M, DuBois RN. Alterations in cellular adhesion and apoptosis in epithelial cells overexpressing prostaglandin endoperoxide synthase 2. *Cell* 1995; 83: 493–501.
26. Narayanan B, Narayanan N, Reddy B. Docosahexaenoic acid regulated genes and transcription factors inducing apoptosis in human colon cancer cells. *Int J Oncol* 2001;19:1255–62.
27. Chiu L, Wang J. Induction of apoptosis in HL-60 cells by eicosapentaenoic acid (EPA) is associated with downregulation of bcl-2 expression. *Cancer Lett* 1999;145:17–27.
28. Weatherill AR, Lee JY, Zhao L, Lemay DG, Youn HS, et al. Saturated and Polyunsaturated Fatty Acids Reciprocally Modulate Dendritic Cell Functions Mediated through TLR4. *J Immunol*, 2005;174:5390–5397.
29. Lee J.Y, Plakidas A, Lee W.H, Heikkinen A, Chanmugam P, Bray G, Hwang D.H. Differential modulation of Toll-like receptors by fatty acids: preferential inhibition by n-3 polyunsaturated fatty acids. *J Lipid Res*. 2003;44:479–486.
30. Yaqoob P, Pala HS, Cortina-Borja M, Newsholme EA, Calder PC. Encapsulated fish oil enriched in alpha-tocopherol alters plasma phospholipid and mononuclear cell fatty acid compositions but not mononuclear cell functions. *Eur J Clin Invest* 2000; 30, 260–274.
31. Friedberg CE, Heine RJ, Janssen MJFM, Grobbee DE. Fish oil and glycemic control in diabetes. *Diabetes Care* 1998; 21:494–500.
32. Lee JY, Hwang DH. The modulation of inflammatory gene expression by lipids: mediation through Toll-like receptors. *Mol Cells* 2006;21:174–185.

